

アーチ型ゲートの耐風性に関する研究

京都大学工学部 正員 工博 小西一郎
 京都大学工学部 正員 工博 白石成人
 京都大学大学院 学生員 工修 宇都宮英彦
 京都大学大学院 学生員 ○辻 勝成

I. まえがき

土木構造物の耐風安定性については従来吊橋構造に限られていた感があるが、現在大規模安治川河口へ建設中のアーチ型防潮水門のように大スパンのゲート等の場合になると、同様にその耐風性状が重要な問題となると考えられる。筆者等は先に、この問題を検討するため Theodorsen 関数を用いた平板に作用する空気力を適用して解析を試みたが、必ずしも良い結果を得られなかつた。ここでは更に検討を進め、Quasi-Steady 理論を用いて行った結果を報告する。

II. 穀定常空気力による解析

Theodorsen 関数を用いた理論解は実験値よりもかなり大きな限界風速を与える、危険側の値となるため適当ではない。逆ってここでは Quasi-Steady 理論による空気力を用いて解析を進めるとしている。

御令模型の振動方程式は鉛直変位 y 、傾れ角 θ とすると、

$$\left. \begin{array}{l} m\ddot{y} + ky + L = 0 \\ I\ddot{\theta} + kb^2\theta + M = 0 \end{array} \right\} \quad (1)$$

ここで k : 側量、 K : バネ定数、 I : 惯性モーメントで次式によつて与えられる。

$$\left. \begin{array}{l} L = \frac{1}{2}\rho U^2 C \frac{dC}{d\theta} \left[\theta + \frac{1}{U} \frac{dy}{dt} + \frac{1}{U} \left(\frac{3}{4}C - y_0 \right) \frac{d\theta}{dt} \right] \\ M = \frac{1}{2}\rho U^2 C^2 \left\{ -\frac{C\pi}{8U} \frac{d\theta}{dt} + \left(\frac{y_0}{C} - \frac{1}{4} \right) \frac{dC}{d\theta} \left[\theta + \frac{1}{U} \frac{dy}{dt} + \frac{1}{U} \left(\frac{3}{4}C - y_0 \right) \frac{d\theta}{dt} \right] \right\} \end{array} \right\} \quad (2)$$

ρ : 空気密度、 U : 風速、 C : 御令模型幅員、 y_0 : leading edge から重心軸までの距離、 C_L : 揚力係数

式(2)を(1)へ代入し y , θ を $y = A e^{j\omega t}$, $\theta = B e^{j\omega t}$ とおくと

$$\left. \begin{array}{l} [m\lambda^2 + \frac{1}{2}\rho U^2 C \frac{dC}{d\theta}] A + [\frac{1}{8}\rho U^2 C^2 l \frac{dC}{d\theta} \lambda + \frac{1}{2}\rho U^2 C l \frac{dC}{d\theta}] B = 0 \\ -[\frac{1}{8}\rho U^2 C^2 l \frac{dC}{d\theta} \lambda] A + [I\lambda^2 - \frac{1}{2}\rho U^2 C^2 l (-\frac{\pi}{2} + \frac{1}{4} \frac{dC}{d\theta}) \lambda + (kb^2 - \frac{1}{8}\rho U^2 C^2 l \frac{dC}{d\theta})] B = 0 \end{array} \right\} \quad (3)$$

この特性方程式は次のように入ることでの4次式となる。

$$\begin{aligned} & mI\lambda^4 + \left[\frac{1}{8}m\rho U^2 C^3 l \left(\frac{1}{4} \frac{dC}{d\theta} - \frac{\pi}{2} \right) + \frac{1}{2}\rho U^2 C l \frac{dC}{d\theta} \right] \lambda^3 + \left[m(kb^2 - \frac{1}{8}\rho U^2 C^2 l \frac{dC}{d\theta}) \right] \lambda^2 \\ & + kl + \frac{\pi}{32} \rho^2 U^2 C^4 l^2 \frac{dC}{d\theta} \lambda^2 + \left[\frac{1}{2}\rho U^2 C l \frac{dC}{d\theta} kb^2 + \frac{1}{8}\rho U^2 C^3 l \left(\frac{\pi}{2} - \frac{1}{4} \frac{dC}{d\theta} \right) k \right] \lambda \\ & + \left[k(kb^2 - \frac{1}{8}\rho U^2 C^2 l \frac{dC}{d\theta}) \right] = 0 \end{aligned} \quad (4)$$

振動が漸的であるか否かは Routh の判別式を用いて調べる。この場合限界状態を定める式は次のようになる。

$$\frac{1}{4} \rho U^2 C_L^2 b^2 \left(\frac{1}{8} PC_L \frac{dC_L}{d\theta} I + mC_L^2 \left(\frac{\pi}{8} - \frac{1}{16} \frac{dC_L}{d\theta} \right) \right) \left[\left(\frac{dC_L}{d\theta} I + mC_L^2 \left(\frac{\pi}{8} - \frac{1}{16} \frac{dC_L}{d\theta} \right) \right) - (m - \frac{\pi}{2} PC_L) \left\{ \frac{dC_L}{d\theta} b^2 + C_L^2 \left(\frac{\pi}{8} - \frac{1}{16} \frac{dC_L}{d\theta} \right) \right\} \right] \left[\left(\frac{dC_L}{d\theta} I + mC_L^2 \left(\frac{\pi}{8} - \frac{1}{16} \frac{dC_L}{d\theta} \right) \right) \times \left\{ \frac{dC_L}{d\theta} b^2 + C_L^2 \left(\frac{\pi}{8} - \frac{1}{16} \frac{dC_L}{d\theta} \right) \right\} (I + mb^2) - kb^2 \left\{ \frac{dC_L}{d\theta} I + mC_L^2 \left(\frac{\pi}{8} - \frac{1}{16} \frac{dC_L}{d\theta} \right) \right\}^2 - kmI \left\{ \frac{dC_L}{d\theta} b^2 + C_L^2 \left(\frac{\pi}{8} - \frac{1}{16} \frac{dC_L}{d\theta} \right) \right\}^2 \right] = 0 \quad (5)$$

上式から限界フライヤー風速が求まる。なお式中の $\frac{dC_L}{d\theta}$ の値は三分力試験から求める。

G.T. Parkinson は同様に Quasi-steady 理論によって定常流中の galloping の問題を解析している。これは直振動の方程式を

$$m\ddot{Y} + r\dot{Y} + kY = F \quad (6)$$

とし、 $F = C_F \rho U_{\text{wind}}^2 Cd/2$, $L = C_L \rho U_{\text{wind}}^2 Cd/2$, $D = C_D \rho U_{\text{wind}}^2 Cd/2$, すなわち $C_F = (C_L + C_D \tan \alpha) \rho U_{\text{wind}}^2$ として外力を与えた。ここで C_L , C_D は三分力試験による 静的な実験曲線から、 $C_L = a_0 - a_1 \alpha + a_2 \alpha^2$, $C_D = b_0 - b_1 \alpha^2 + b_2 \alpha^4$ とおいて係数を近似する。これらを (6) に代入して無次元化すると

$$\ddot{Y} - \epsilon (1 - P\dot{Y} - Q) \dot{Y} + Y = 0 \quad (7)$$

$\dot{Y} = \dot{Y}_0$, ϵ, P, Q ; 非線形減衰パラメータ

この解を $Y = Y_0 \sin(\omega T + \phi)$ と仮定すると ϵ が小さければ \dot{Y} は T の変化と共にゆっくりと変る。これを (7) に代入して

$$\dot{Y} = \frac{\epsilon}{2\pi} \int_0^{2\pi} ((1 - P\dot{Y} \cos^2 \theta - Q \dot{Y}^2 \cos^2 \theta) \dot{Y} \cos^2 \theta) d\theta = \frac{\epsilon \dot{Y}}{2} (1 - \frac{3}{4} P \dot{Y}^2 - \frac{5}{8} Q \dot{Y}^4) \quad (8)$$

従って風速と振幅、振幅と T の関係はそれぞれ、次のようく求められる。

$$\dot{Y}_{\text{steady}} = U \sqrt{-\frac{3P}{5C} + \left[\left(\frac{3P}{5C} \right)^2 + \frac{8A}{5C} (1 - \frac{Y_0^2}{Y_s^2}) \right]^{\frac{1}{2}}} \quad (9)$$

$$ET = \lim_{T \rightarrow \infty} \left[\frac{\dot{Y}^2}{Y_0^2} \left(\frac{Y_0^2 - \dot{Y}^2}{Y_s^2 - Y_0^2} \right) \frac{Y_0^2 - \dot{Y}^2}{Y_s^2 - Y_0^2} \left(\frac{\dot{Y}^2 - Y_s^2}{Y_0^2 - Y_s^2} \right)^{\frac{1}{2}} \right] \quad (10)$$

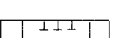
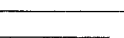
Ⅱ 考察

式(4)による計算値と風洞によるフライヤー実験から求った限界風速を表1に示す。対象となった模型は図1の通りである。限界フライヤー風速は $\frac{dC_L}{d\theta}$ の値が小さい程大きくなり安全になることが分かる。実験値と比べて計算値は安全側に出ており、実験値は平板理論と Quasi-steady 理論の中間の値となるようである。三分力試験によるデータを用いて galloping を論じることは、二の一連の

表1 限界フライヤー風速

模型形式	b	U_{cr} (計算値) (m/s)	$\frac{dC_L}{d\theta}$	U_{cr} (実験値) (m/s)
TI-AU	30	4.376	4.24	6.066
	35	5.823		7.483
	40	7.600		8.294
TI-AL	30	4.312	4.20	6.066
	35	5.822		6.812
	40	6.502		7.043
TI-BU	30	5.380	4.01	6.573
	35	6.024		7.483
	40	7.130		8.672
TI-BL	30	4.256	4.30	6.000
	35	5.278		6.928
	40	6.202		7.374
TIV-AU	30	3.394	5.38	5.060
	35	3.986		5.657
	40	4.480		5.933

図1 模型

TI-AU	$\rho = 860$	
TIV-AU	$\rho = \infty$	
TI-AL	$\rho = 860$	
TI-BU	$\rho = 860$	
TI-BL	$\rho = 860$	

実験では不可能であった。すなわち上下方向の自動振動は $(\frac{dC_L}{d\theta} + C_D)$ の値が負の場合に生じるのであるが、ここでは迎角の小さな領域では全て正であった。実験は現在なお継続中であり、追って得られた結果は省略する。

(参考文献) 1. Y. Fung, "The Theory of Aerelasticity", John Wiley, 1955.

2. G.T. Parkinson & J.D. Smith, "The Square Prism as an Aerelastic Non-linear Oscillator", *Proc. Roy. Soc. A*, Vol. XIX, 1964.